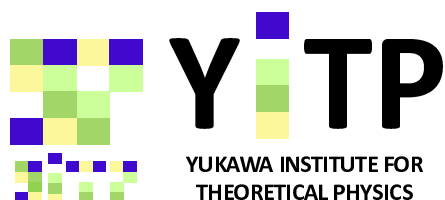




# 宇宙物理に現れる非線形偏微分方程式 の解法について

大川博督(早大高等研)

1. Fujisawa, Okawa, Yamamoto, Yamada,  
AstroPhys.J. 872, 155(2019)
2. Okawa, Fujisawa, Yamamoto, Hirai, Yasutake,  
Nagakura, Yamada, arXiv/cs:1809.04495
3. Okawa, Fujisawa, Yasutake,  
Yamamoto, Ogata, Yamada in prep.



導入のための導入

## 自己紹介(主な研究歴)

- ~~~~~
- ⌚ 高次元時空（4以上）における数値相対論  
(京大基研: 2012年以前)
    - ⌚ アインシュタイン方程式
  - ⌚ ブラックホールや超コンパクト星（アクション等）  
への重力崩壊など（リスボン工科大学: 2014年頃まで）
    - ⌚ アインシュタイン方程式、クライン＝ゴルドン方程式
  - ⌚ サブ課題 宇宙B 数値相対論班として  
SACRA コード整備 (京大&早大: 2016年頃まで)
    - ⌚ アインシュタイン方程式、完全流体の方程式
  - ⌚ サブ課題 宇宙B 超新星ボルツマン班として  
「京」による大規模数値計算 (京大&早大: 現在も)
    - ⌚ 辐射流体の方程式、ボルツマン方程式
  - ⌚ “W4法”による非線形偏微分方程式の解法の構築  
(早大高等研: これから)

# 偏微分方程式の型について



## ・ 2変数2階偏微分方程式の型

$$A \frac{\partial^2 u}{\partial t^2} + 2B \frac{\partial^2 u}{\partial t \partial x} + C \frac{\partial^2 u}{\partial x^2} + f(t, x) = 0$$

1. 双曲型 ( $B^2 - AC > 0$ ) (例) 波動方程式  $\frac{\partial^2 u}{\partial t^2} = c^2 \frac{\partial^2 u}{\partial x^2}$
2. 放物型 ( $B^2 - AC = 0$ ) (例) 熱伝導方程式  $\frac{\partial u}{\partial t} = \kappa \frac{\partial^2 u}{\partial x^2}$
3. 楕円型 ( $B^2 - AC < 0$ ) (例) ポアソン方程式  $\Delta \psi = 4\pi G\rho$

一般的な数値計算コスト ( $1 < 2 < 3$ )

マクスウェル方程式やアインシュタイン方程式: 双曲型 + 楕円型  
(発展方程式 + 拘束条件)

# 宇宙物理における楕円型偏微分方程式の例



Hamiltonian and Momentum constraints(相対論的初期条件)

$$\tilde{\Delta}\psi - \frac{1}{8}\psi\tilde{R} - \frac{1}{12}\psi^5K^2 + \frac{1}{8}\psi^{-7}\tilde{A}_{ij}\tilde{A}^{ij} = -\frac{\kappa}{8}\psi^5\rho,$$

$$\tilde{\Delta}W_i + \frac{1}{3}\tilde{\nabla}_i\left(\tilde{\nabla}_jW^j\right) + \tilde{R}_{ij}W^j = \frac{2}{3}\psi^6\tilde{\nabla}_iK + \kappa\psi^{10}j_i.$$



Apparent Horizon Finder(ホライズン面の探査)

$$h_{,\theta\theta} + \frac{\cos\theta}{\sin\theta}h_{,\theta} + \frac{1}{\sin^2\theta}h_{,\phi\phi} = S(h).$$



Part of Shrödinger equation with potential(モード解析)

$$\frac{d^2\Psi}{dr^2} + (\omega^2 - V)\Psi = 0.$$



Pulsar equation(パルサー磁気圏)

$$(1 - R^2\Omega_F^2) \left[ \partial_R^2\Psi - \frac{1}{R}\partial_R\Psi + \partial_z^2\Psi \right] - 2R\Omega_F^2\partial_R\Psi + 16\pi^2I_P \frac{dI_P}{d\Psi} = 0.$$

# 目次

---

## ⑨ 導入

### ⑨ 超新星爆発の研究について

## ⑨ 問題設定

### ⑨ 基礎方程式

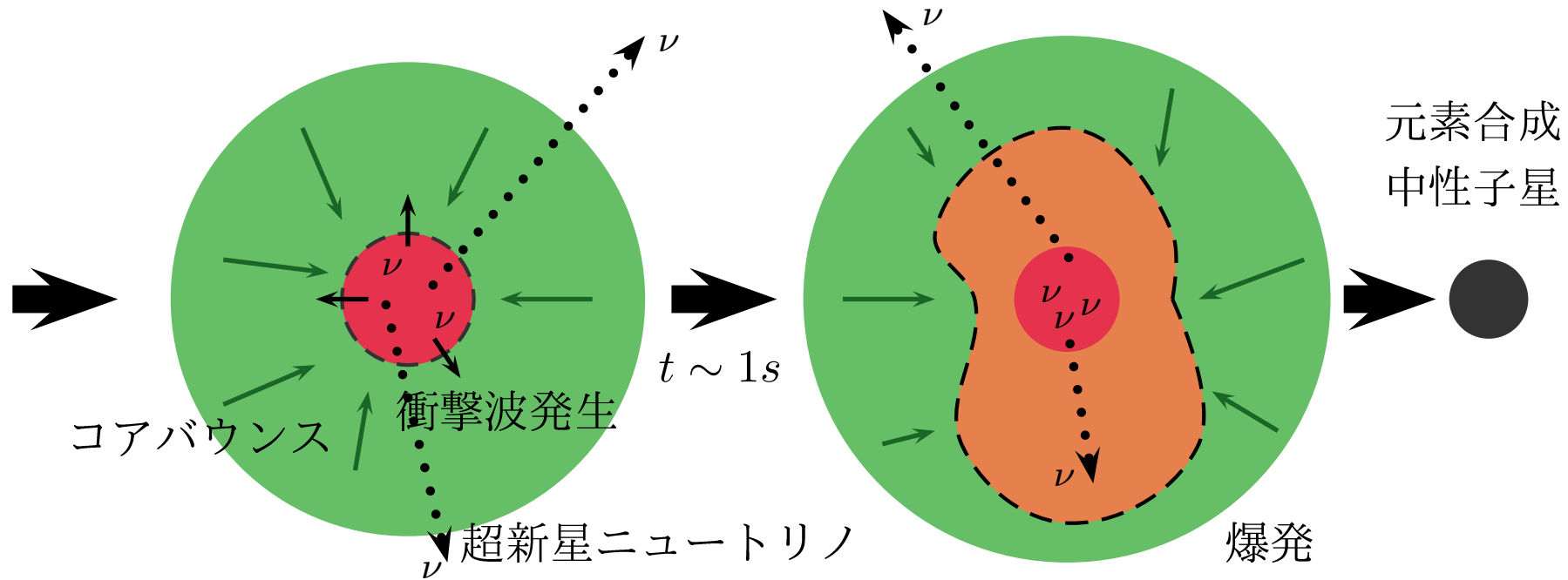
## ⑨ 数値計算手法

### ⑨ 非線形連立方程式の解法

## ⑨ 今後の展開とまとめ

# 導入

# 超新星の爆発メカニズムの検証



問題点：停滞した衝撃波を復活できるか？

9

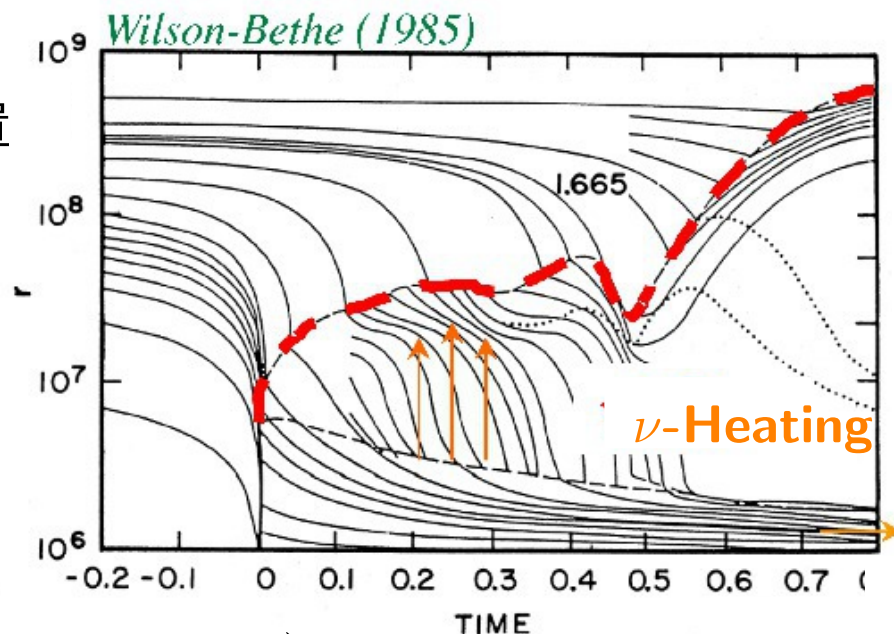
## ニュートリノ加熱メカニズム

輻射輸送を真面目に解く？ $\rightarrow$  (3+3+1 次元) ボルツマン方程式？

# 球対称シミュレーション



衝撃波位置



$$f_\nu(r, \theta, \phi, \epsilon_\nu, \theta_\nu, \phi_\nu; t)$$

Boltzmann eq.:

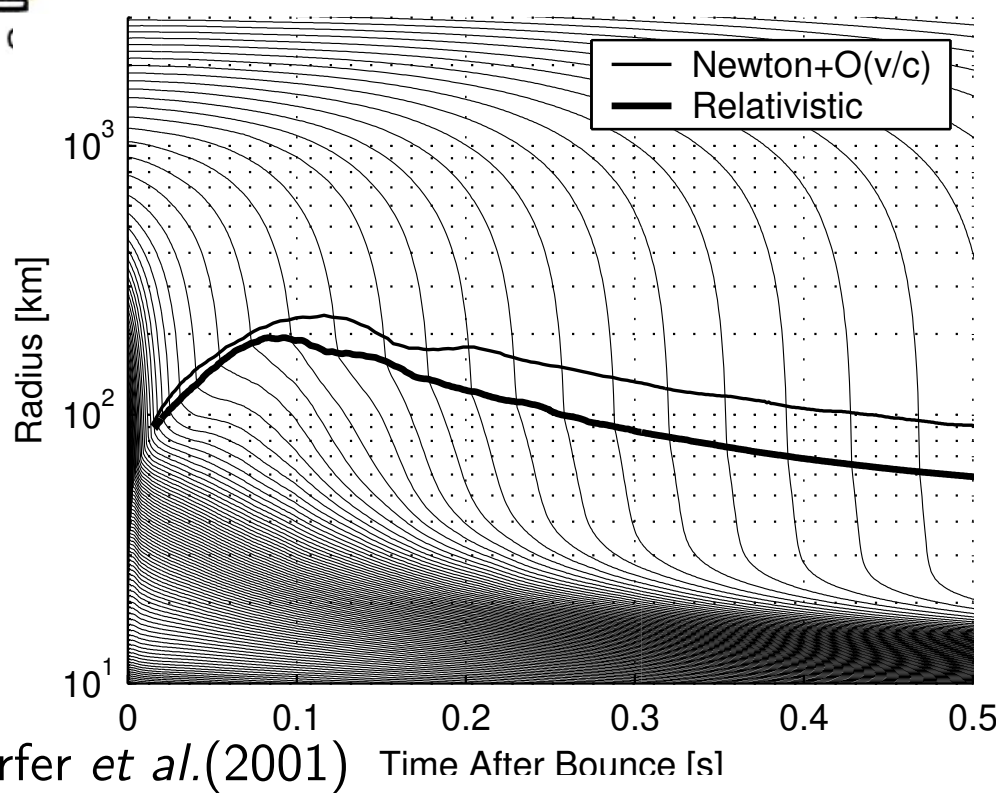
$$\frac{1}{c} \frac{\partial f_\nu}{\partial t} + \vec{n} \cdot \vec{\nabla} f_\nu = \frac{1}{c} \left( \frac{\delta f_\nu}{\delta t} \right)_{coll}$$

時間変動項 + 移流項 = 衝突項 ( $\nu$  反応)

ニュートリノ加熱メカニズム？

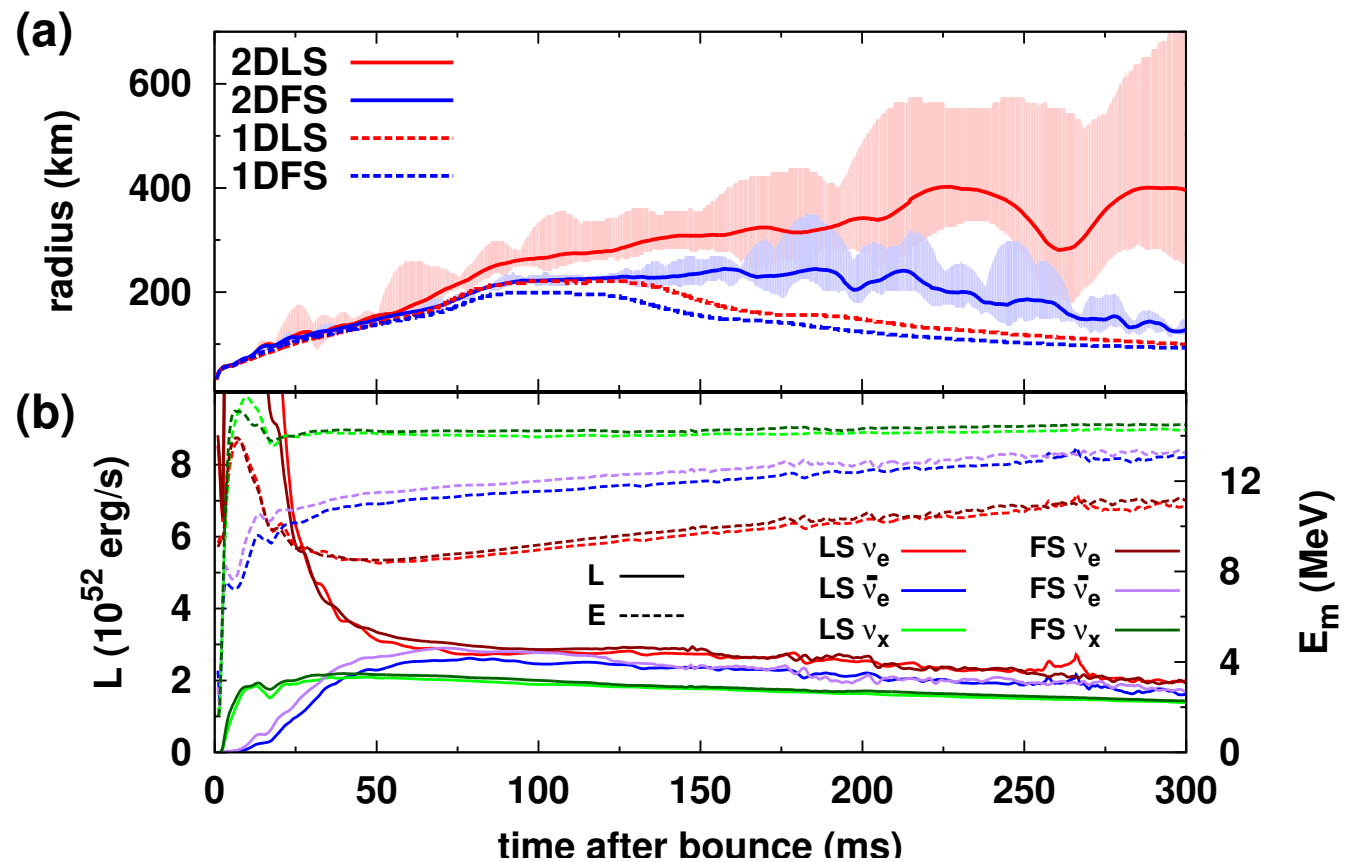
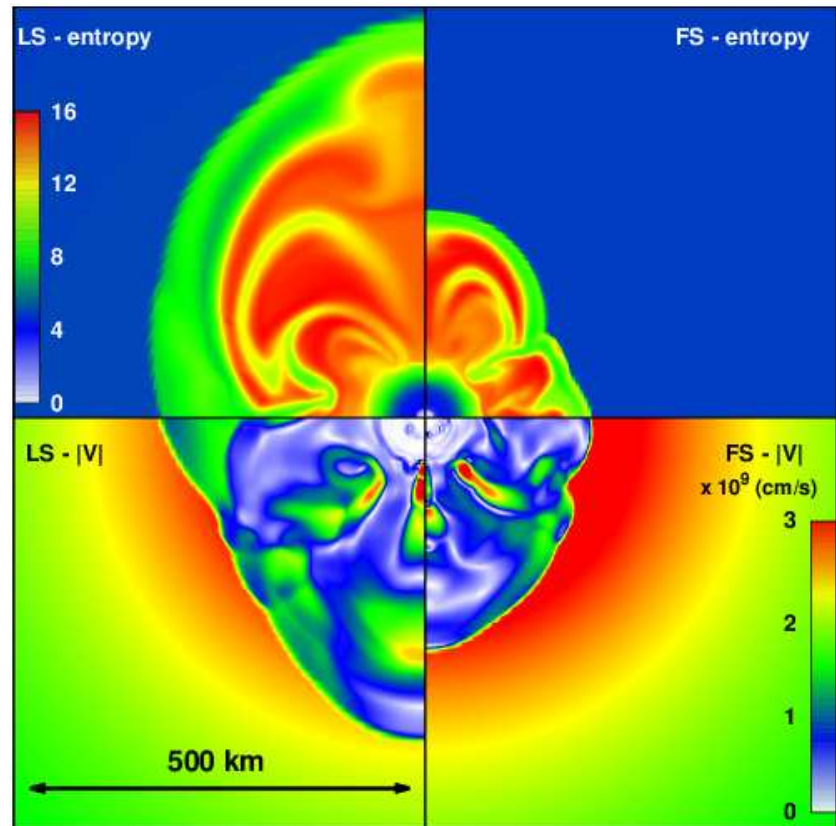
1D-GR-Boltzmann では爆発せず。

多次元効果？



# 2次元軸対称ボルツマン計算での爆発例

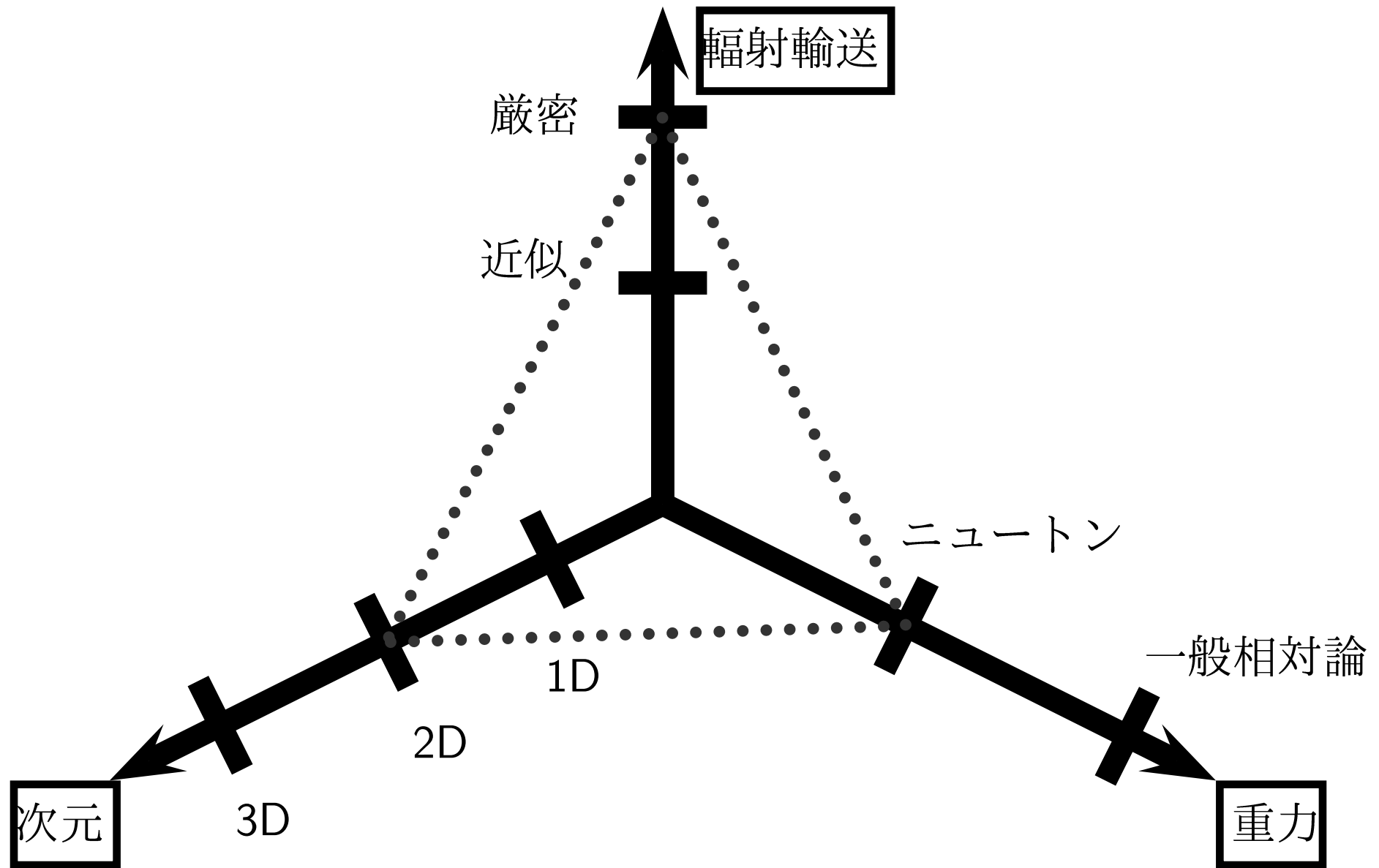
Nagakura et al.(2018)



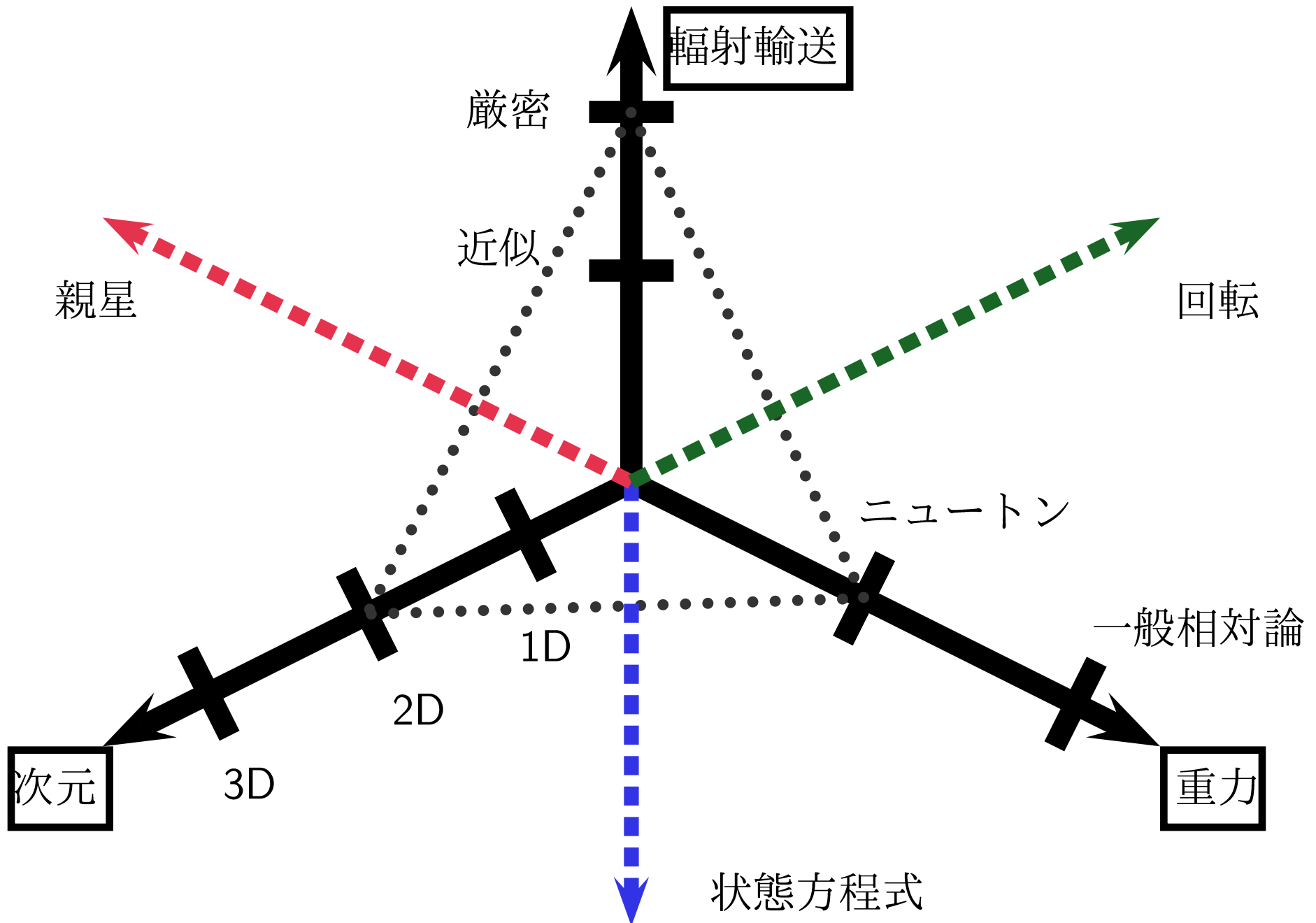
❾ 柔らかい状態方程式はより飛ぶ傾向

❾ 一次元球対称では爆発しない

# 問題設定の軸とモデル(パラメータ)空間



# 問題設定の軸とモデル(パラメータ)空間

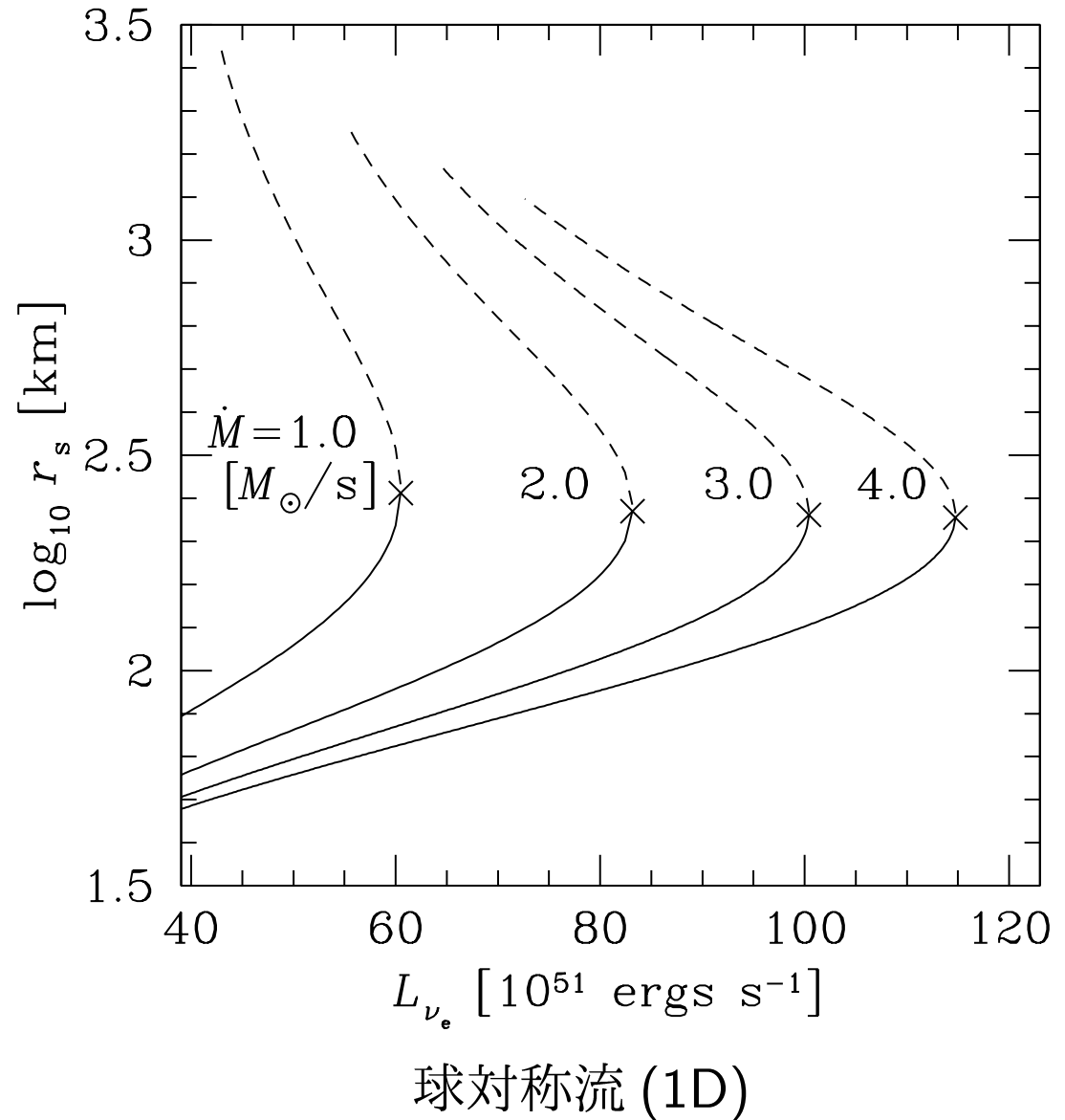
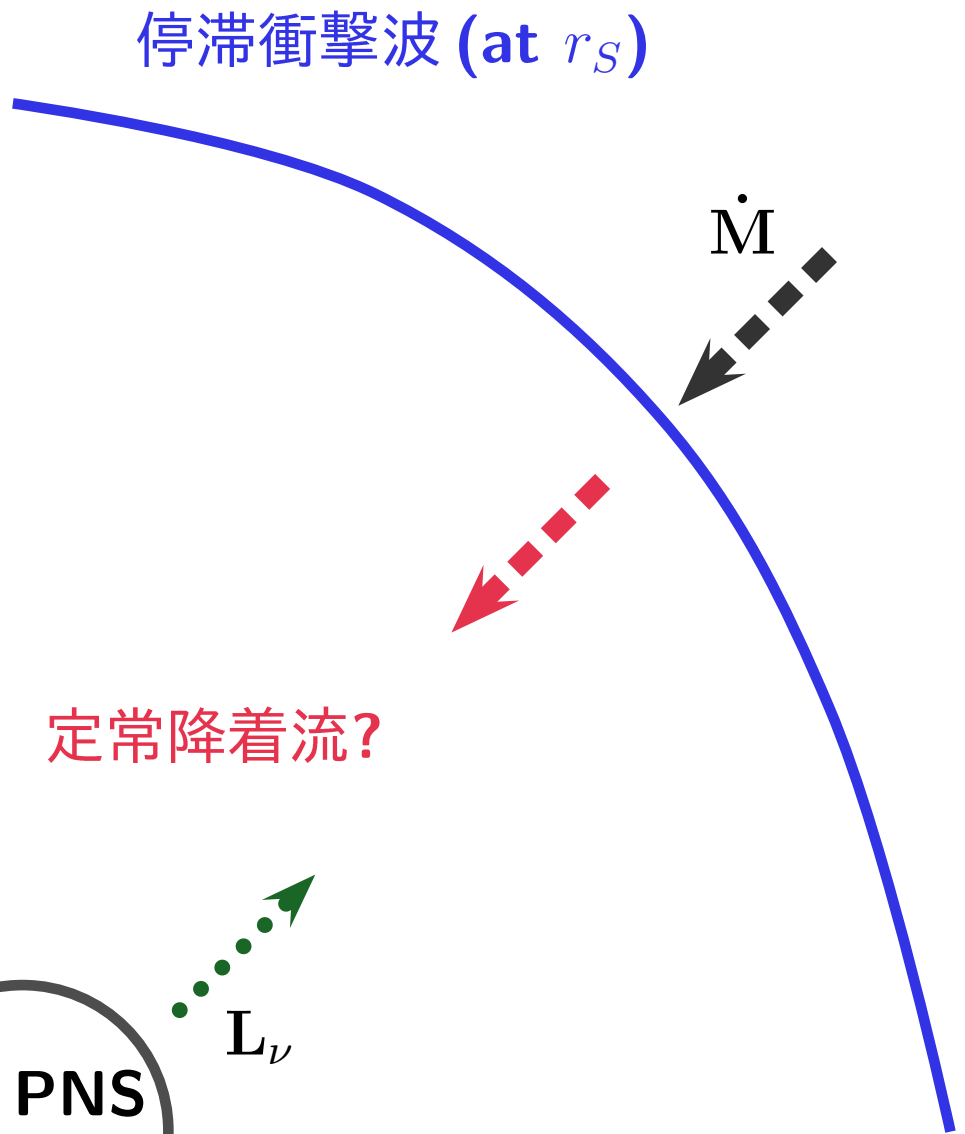


# 問題設定

# 超新星爆発と定常流

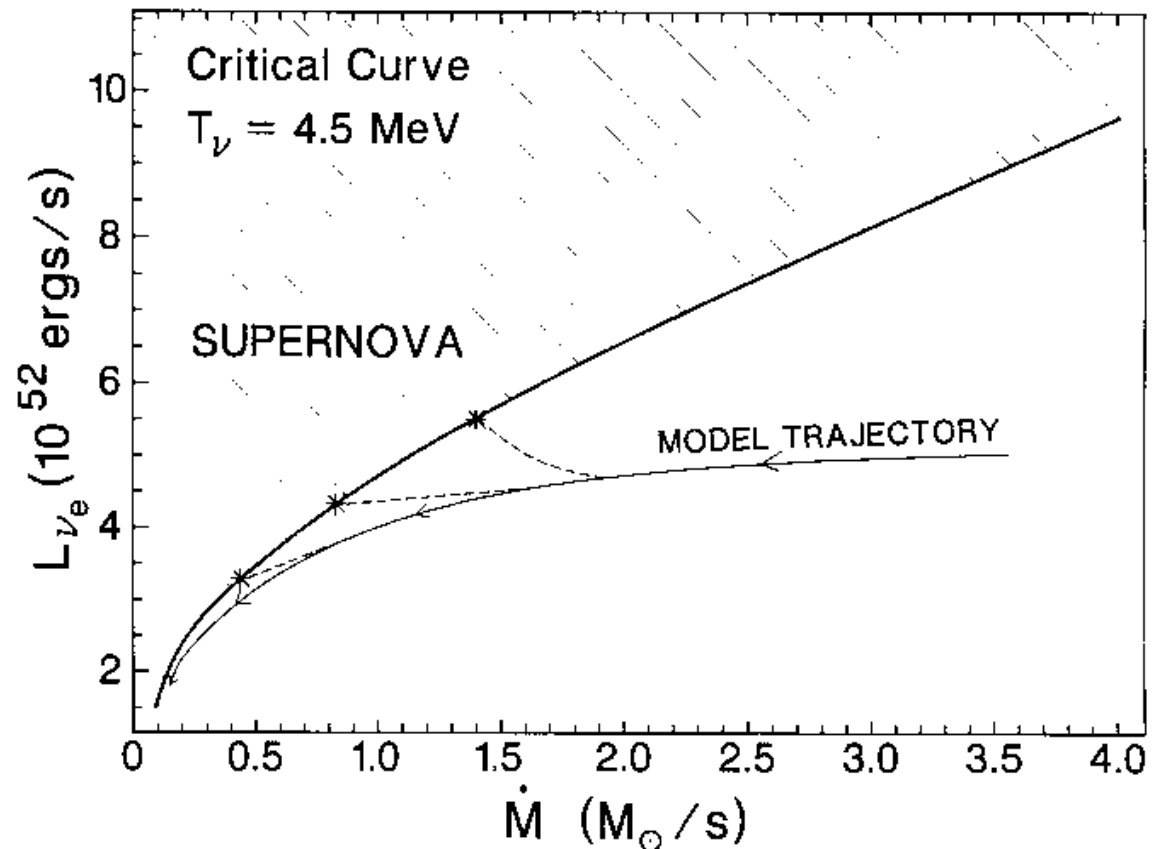
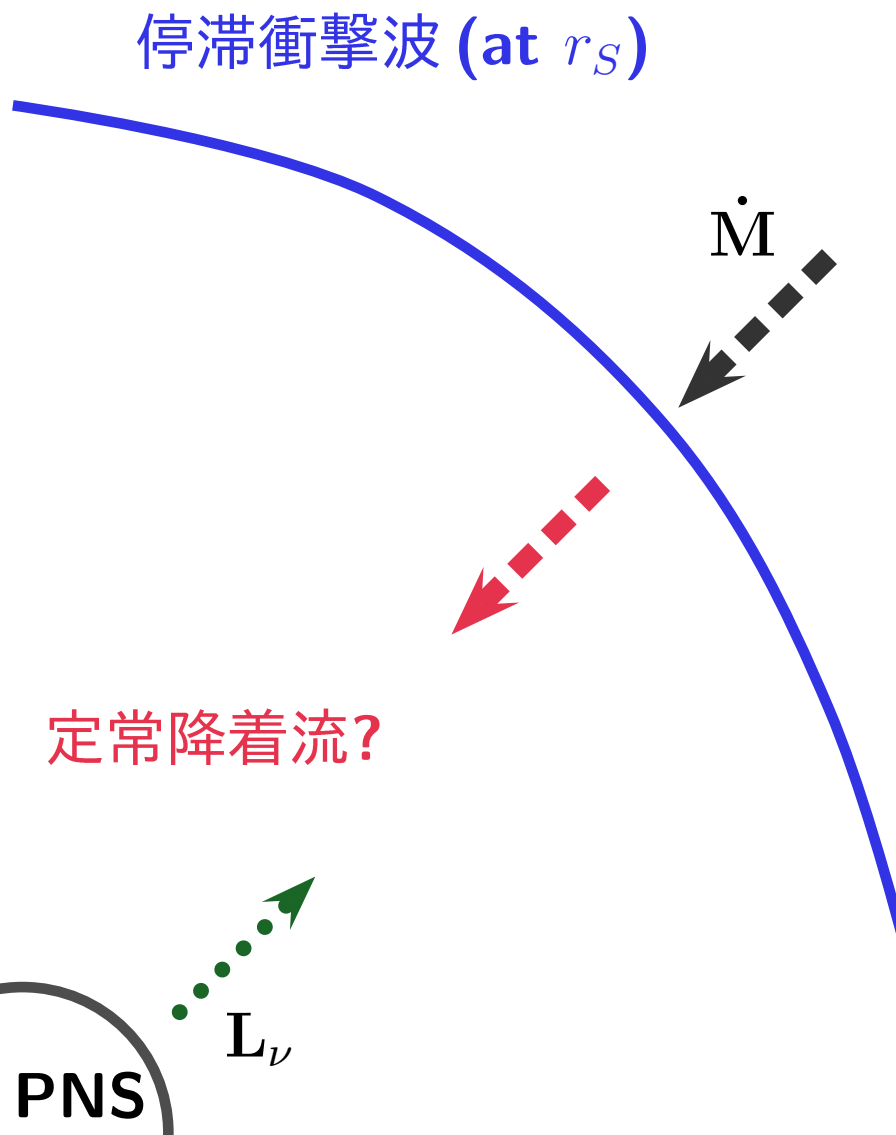


Yamasaki&Yamada('05)



# 超新星爆発と定常流

Burrows&Goshy('93)



- ⌚ 臨界ニュートリノ光度曲線が得られる。
- ⌚ 多次元の効果は?  
(回転: Yamasaki&Yamada '05)

# 基礎方程式



Q

Continuity

$$D_t \rho = -\rho \vec{\nabla} \cdot \vec{u},$$

$$D_t \equiv \partial_t - \vec{u} \cdot \vec{\nabla}$$

Q

EoM

$$D_t \vec{u} = -\frac{1}{\rho} \vec{\nabla} P + \vec{\nabla} \Phi + \frac{1}{4\pi\rho} (\vec{\nabla} \times \vec{B}) \times \vec{B},$$

Q

Energy

$$D_t \varepsilon - \frac{P}{\rho^2} D_t \rho = \dot{q},$$

Q

Induction equation with MHD condition

$$\vec{\nabla} \times \vec{E} = \vec{0}, \quad \vec{E} = -\vec{u} \times \vec{B}, \quad \vec{\nabla} \cdot \vec{B} = \vec{0}.$$

# 基礎方程式



$$\frac{1}{r^2} \frac{\partial}{\partial r} (r^2 \rho u_r) + \frac{1}{r \sin \theta} \frac{\partial}{\partial \theta} (\sin \theta \rho u_\theta) = 0,$$

$$u_r \frac{\partial u_r}{\partial r} + \frac{u_\theta}{r} \frac{\partial u_r}{\partial \theta} - \frac{u_\theta^2 + u_\varphi^2}{r} = -\frac{1}{\rho} \frac{\partial p}{\partial r} - \frac{GM}{r^2} - \frac{1}{4\pi\rho} \left[ B_\theta \frac{\partial B_\theta}{\partial r} + B_\varphi \frac{\partial B_\varphi}{\partial r} + \frac{B_\theta^2 + B_\varphi^2}{r} \right],$$

$$u_r \frac{\partial u_\theta}{\partial r} + \frac{u_\theta}{r} \frac{\partial u_\theta}{\partial \theta} + \frac{u_r u_\theta}{r} - \frac{u_\varphi^2 \cot \theta}{r} = -\frac{1}{\rho r} \frac{\partial p}{\partial \theta} + \frac{1}{4\pi\rho} \left[ B_r \frac{\partial B_\theta}{\partial r} - \frac{B_r}{r} \frac{\partial B_r}{\partial \theta} - \frac{B_\varphi}{r} \frac{\partial B_\varphi}{\partial \theta} + \frac{B_r B_\theta - B_\varphi^2 \cot \theta}{r} \right],$$

$$u_r \frac{\partial u_\varphi}{\partial r} + \frac{u_\theta}{r} \frac{\partial u_\varphi}{\partial \theta} + \frac{u_\varphi u_r}{r} + \frac{u_\theta u_\varphi \cot \theta}{r} = \frac{1}{4\pi\rho} \left[ B_r \frac{\partial B_\varphi}{\partial r} + \frac{B_\theta}{r} \frac{\partial B_\varphi}{\partial \theta} + \frac{B_r B_\varphi - B_\theta B_\varphi \cot \theta}{r} \right],$$

$$u_r \left( \frac{\partial \varepsilon}{\partial r} - \frac{p}{\rho^2} \frac{\partial \rho}{\partial r} \right) + \frac{u_\theta}{r} \left( \frac{\partial \varepsilon}{\partial \theta} - \frac{p}{\rho^2} \frac{\partial \rho}{\partial \theta} \right) = \dot{q},$$

$$\frac{1}{r^2} \frac{\partial}{\partial r} (r^2 B_r) + \frac{1}{r \sin \theta} \frac{\partial}{\partial \theta} (\sin \theta B_\theta) = 0,$$

$$-u_\theta \frac{\partial B_r}{\partial \theta} + u_r \frac{\partial B_\theta}{\partial \theta} - B_r \frac{\partial u_\theta}{\partial \theta} + B_\theta \frac{\partial u_r}{\partial \theta} + u_r B_\theta \cot \theta - u_\theta B_r \cot \theta = 0,$$

$$r u_\theta \frac{\partial B_r}{\partial r} - r u_r \frac{\partial B_\theta}{\partial r} - r B_\theta \frac{\partial u_r}{\partial r} + r B_r \frac{\partial u_\theta}{\partial r} + B_r u_\theta - B_\theta u_r = 0,$$

$$r B_r \frac{\partial u_\varphi}{\partial r} - r B_\varphi \frac{\partial u_r}{\partial r} + r u_\varphi \frac{\partial B_r}{\partial r} - r u_r \frac{\partial B_\varphi}{\partial r} + B_\theta \frac{\partial u_\varphi}{\partial \theta} - B_\varphi \frac{\partial u_\theta}{\partial \theta} + u_\varphi \frac{\partial B_\theta}{\partial \theta} - u_\theta \frac{\partial B_\varphi}{\partial \theta} + B_r u_\varphi - B_\varphi u_r = 0,$$

$$p = \frac{11\pi^2}{180} \frac{k^4}{c^3 \hbar^3} T^4 + \frac{\rho k T}{m_N}, \quad \varepsilon = \frac{11\pi^2}{60} \frac{k^4}{c^3 \hbar^3} \frac{T^4}{\rho} + \frac{3}{2} \frac{kT}{m_N},$$

$$\dot{q} = 4.8 \times 10^{32} \left[ 1 - \sqrt{1 - \frac{r_\nu^2}{r^2}} \right] \frac{L_{\nu e}}{2\pi r_\nu^2} T_\nu^2 - 2.0 \times 10^{18} T^6 \quad (\text{ergs s}^{-1} \text{ g}^{-1}).$$

# 数値計算の設定

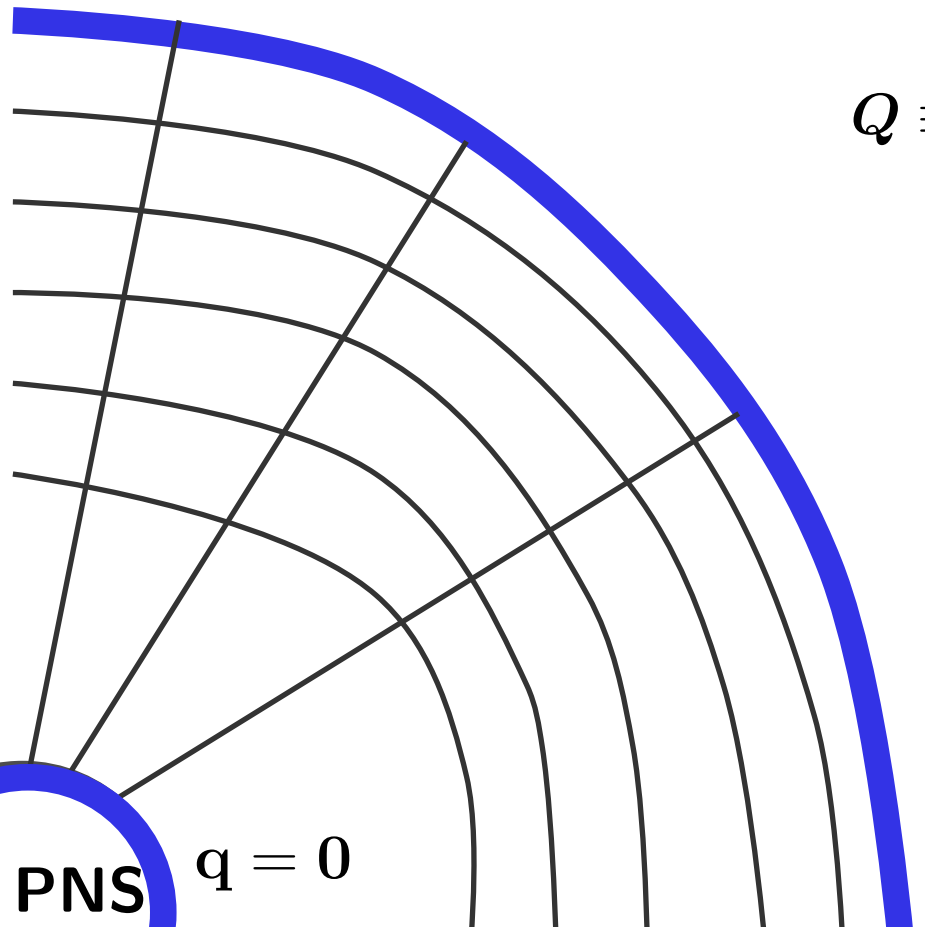


座標:  $\left( q \equiv \frac{r - r_\nu}{r_s(\theta) - r_\nu}, \theta' \equiv \theta \right), \quad \frac{\partial Q}{\partial r} = \frac{1}{r_s - r_\nu} \frac{\partial Q}{\partial q}, \quad \frac{\partial Q}{\partial \theta} = \frac{\partial Q}{\partial \theta'} - \frac{q}{r_s - r_\nu} \frac{dr_s}{d\theta} \frac{\partial Q}{\partial q}.$

$$\mathcal{A}(\mathbf{Q}) \frac{\partial \mathbf{Q}}{\partial q} + \mathcal{B}(\mathbf{Q}) \frac{\partial \mathbf{Q}}{\partial \theta} + \mathcal{C}(\mathbf{Q}) = 0,$$

$$\mathbf{Q} \equiv [\rho \ u_r \ u_\theta \ u_\varphi \ T \ B_r \ B_\theta \ B_\varphi]^T,$$

$$\begin{aligned} F_{j-1,k} &\equiv \mathcal{A}\left(\mathbf{Q}_{j-\frac{1}{2},k}\right) \frac{\mathbf{Q}_{j,k} - \mathbf{Q}_{j-1,k}}{q_j - q_{j-1}} \\ &+ \mathcal{B}\left(\mathbf{Q}_{j-\frac{1}{2},k}\right) \frac{\mathbf{Q}_{j-\frac{1}{2},k+1} - \mathbf{Q}_{j-\frac{1}{2},k-1}}{\Delta\theta} \\ &+ \mathcal{C}\left(\mathbf{Q}_{j-\frac{1}{2},k}\right) = 0. \end{aligned}$$



# 數值計算手法

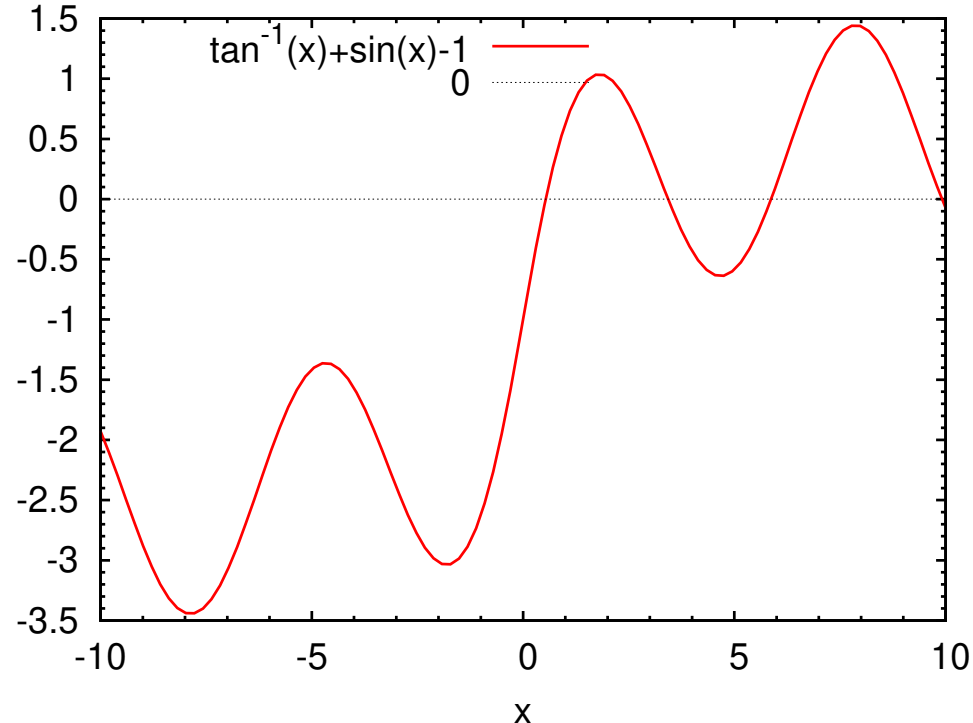
# ニュートン・ラフソン法

(例)

$$f(x) := \arctan(x) + \sin(x) - 1 = 0 \quad \text{ $\times$ }$$

解まわりでテイラー展開  $x^* = x + \Delta x$

$$f(x + \Delta x) \sim f(x) + \Delta x f' + \mathcal{O}(\Delta x^2).$$



$f(x + \Delta x) = 0$  を仮定すると、

$$\Delta x = -f(x)/f'.$$

次ステップの解は、より良いと期待。

$$x + \Delta x \equiv x^{n+1} = x^n - f/f'$$

# 非線形連立方程式の解法 I



(例) 円と2次曲線の交点を求める問題

$$F_1(x, y) := x^2 + y^2 - 4 = 0,$$

$$F_2(x, y) := x^2 y - 1 = 0.$$

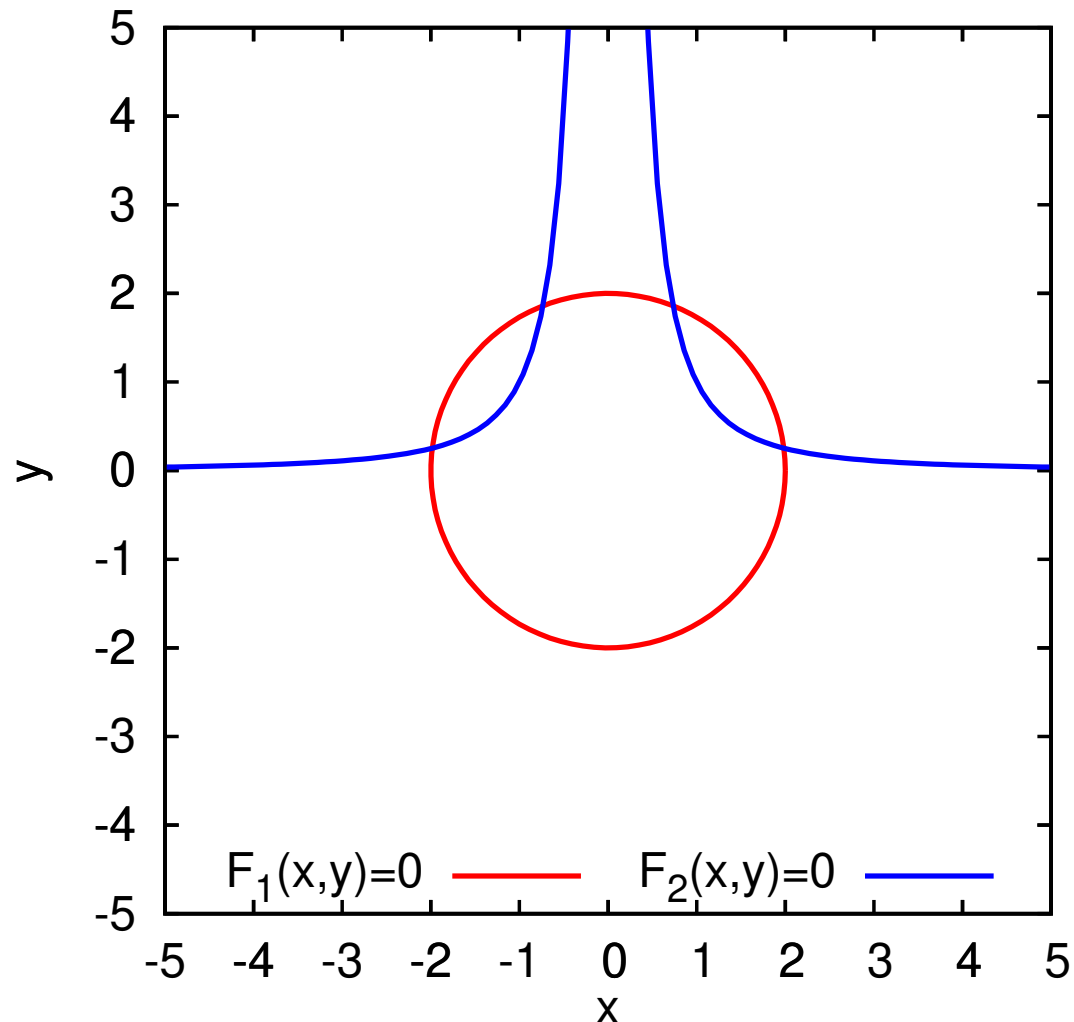
実質、Newton-Raphson 法だけ。

$$\boldsymbol{x}_{n+1} = \boldsymbol{x}_n - \Delta\tau J^{-1} \mathbf{F}(\boldsymbol{x}_n),$$

$$\longleftrightarrow \dot{\boldsymbol{x}} = -J^{-1} \mathbf{F}.$$

ヤコビアン:

$$J = \begin{bmatrix} \frac{\partial F_1}{\partial x} & \frac{\partial F_1}{\partial y} \\ \frac{\partial F_2}{\partial x} & \frac{\partial F_2}{\partial y} \end{bmatrix}$$



# 非線形連立方程式の解法 I



(例) 円と2次曲線の交点を求める問題

$$F_1(x, y) := x^2 + y^2 - 4 = 0,$$

$$F_2(x, y) := x^2y - 1 = 0.$$

実質、Newton-Raphson 法だけ。

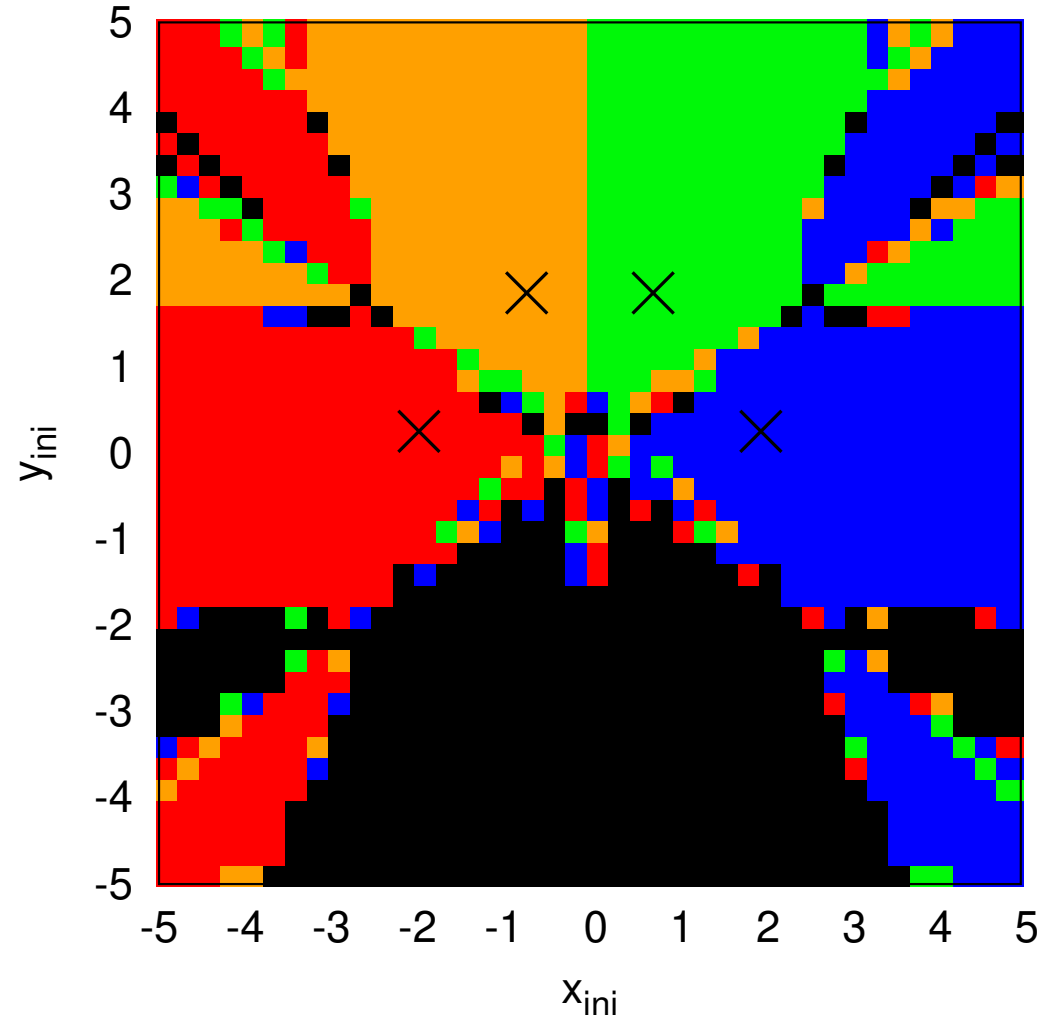
$$\begin{aligned} \mathbf{x}_{n+1} &= \mathbf{x}_n - \Delta\tau J^{-1} \mathbf{F}(\mathbf{x}_n), \\ \longleftrightarrow & \quad \dot{\mathbf{x}} = -J^{-1} \mathbf{F}. \end{aligned}$$

ヤコビアン:

$$J = \begin{bmatrix} \frac{\partial F_1}{\partial x} & \frac{\partial F_1}{\partial y} \\ \frac{\partial F_2}{\partial x} & \frac{\partial F_2}{\partial y} \end{bmatrix}$$



適当な Initial Guess から始めると 4 つの解(色)に落ち着く。  
解けない場合(黒)もある。



Initial Guess が極めて大事!!

# 非線形連立方程式の解法 II



減衰振動子を思い浮かべて、2階微分を足してみる。(W4 法, Okawa et al. '18)

$$\boldsymbol{x}_{n+1} = \boldsymbol{x}_n + \Delta\tau X \boldsymbol{p}_n,$$

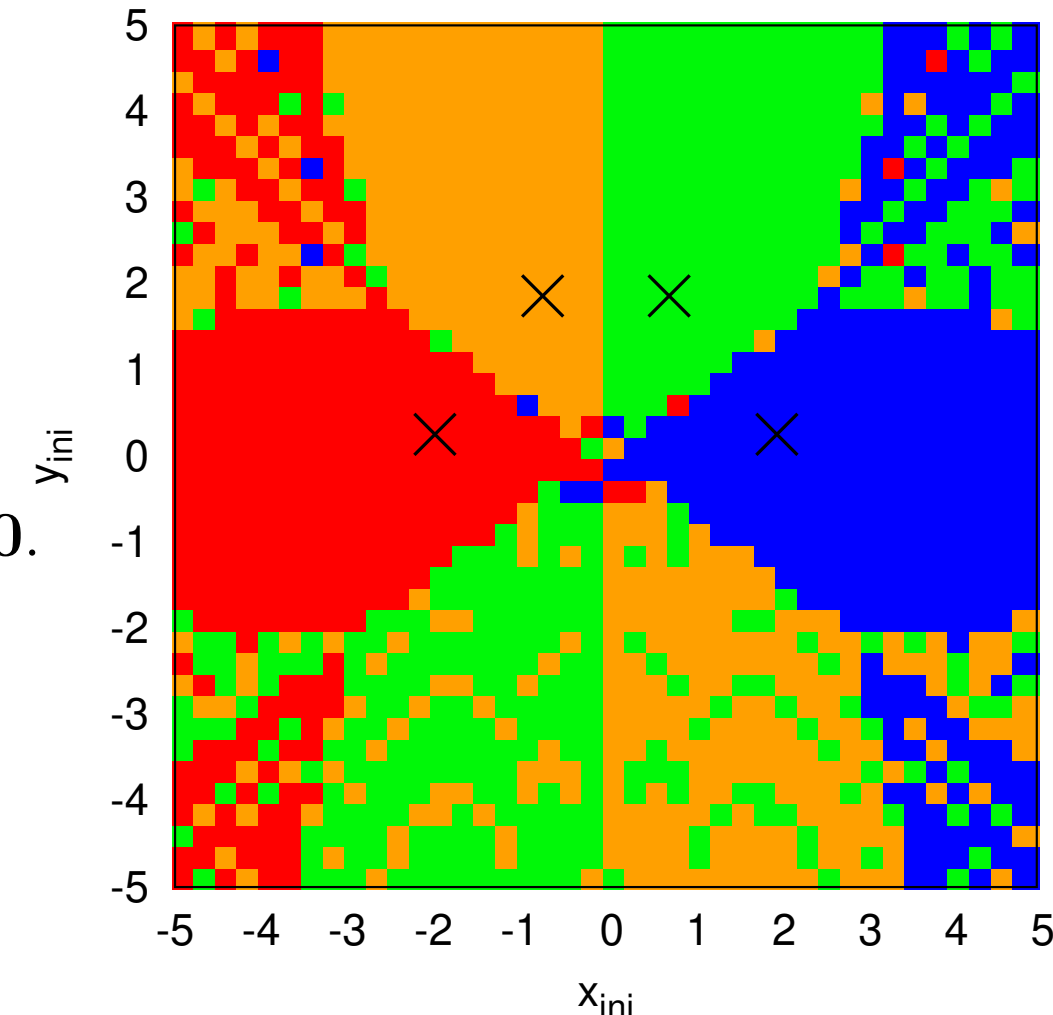
$$\boldsymbol{p}_{n+1} = (1 - 2\Delta\tau) \boldsymbol{p}_n - \Delta\tau Y \mathbf{F}(\boldsymbol{x}_n).$$

$$\longleftrightarrow \ddot{\boldsymbol{x}} + 2\dot{\boldsymbol{x}} - \dot{\boldsymbol{X}} \boldsymbol{X}^{-1} \dot{\boldsymbol{x}} + \boldsymbol{X} \boldsymbol{Y} \mathbf{F} = 0.$$

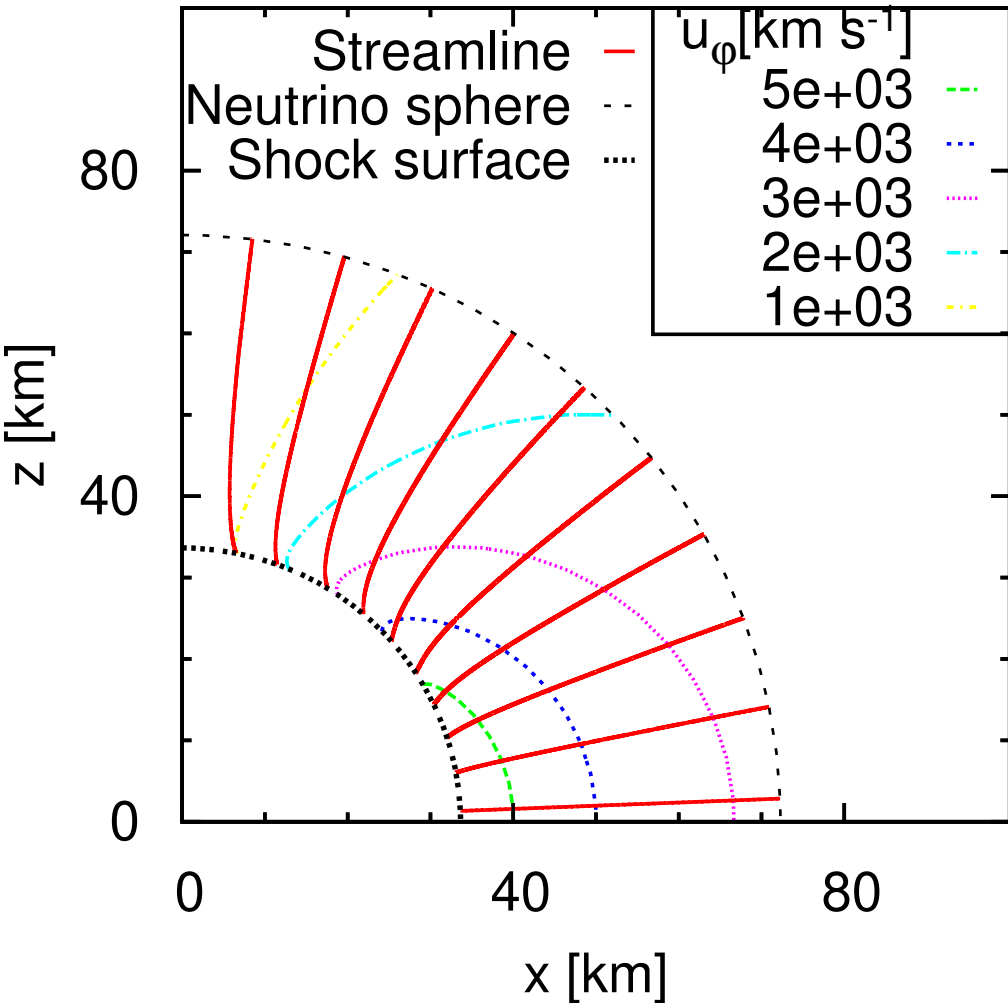
⌚  $\boldsymbol{Y} = \boldsymbol{X}^{-1} \boldsymbol{J}^{-1}$  と選ぶと、Newton-Raphson 法と同様に局所収束の性質がある。

⌚  $\boldsymbol{J} = \boldsymbol{U} \boldsymbol{D} \boldsymbol{L}$  のように分解し、  
 $\boldsymbol{Y} = (\boldsymbol{U} \boldsymbol{D})^{-1}$  とする。(W4UL 分解)

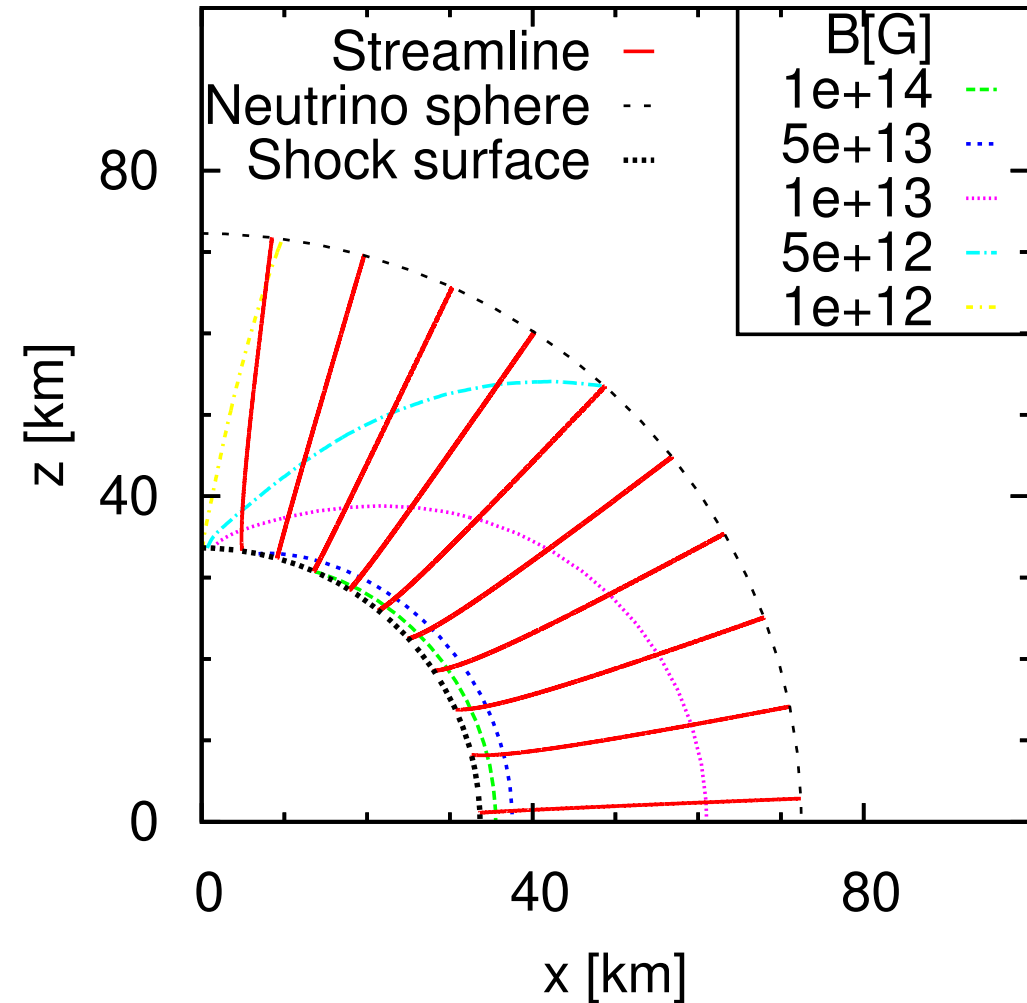
⌚ 適当な Initial Guess から始めると 4 つの解(色)に落ち着く。  
だいたい解ける!? 摩擦項による経路の変化。



# 解の例(流線)

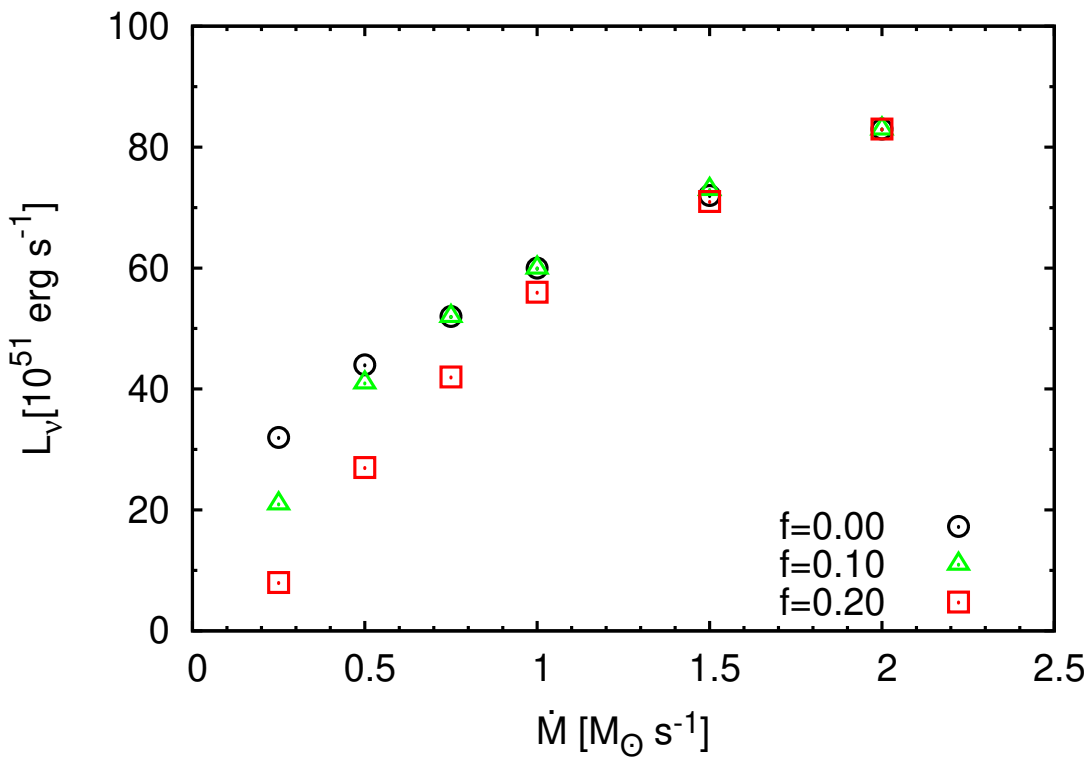


回転のみ  
(赤道方向へ曲がる)

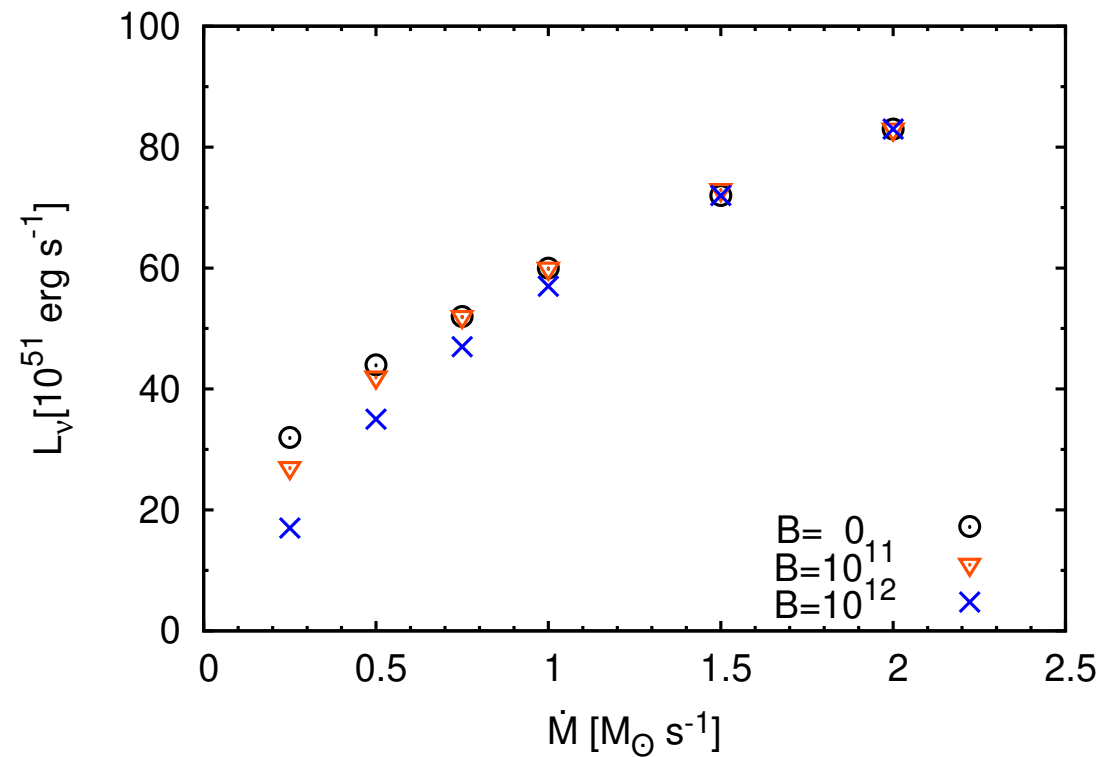


トロイダル磁場のみ  
(極方向へ曲がる)

# 臨界ニュートリノ光度曲線



回転のみ



トロイダル磁場のみ

回転も磁場も臨界光度を下げる働きがある。  
降着率に対する依存性は異なる。



# 應用例 (相對論的回転星)



**Metric Ansatz :**

$$ds^2 = -f_0^2(r, \theta)dt^2 + f_1^{-2}(r, \theta)(dr^2 + r^2d\theta^2) + f_2^{-2}(r, \theta)r^2\sin^2\theta(d\varphi - \omega(r, \theta)dt)^2$$



**Velocity field of Perfect fluid :**

$$u^t = \frac{1}{f_0(r, \theta)\sqrt{1-v^2}}, \quad u^\varphi = \frac{\Omega(r, \theta)}{f_0(r, \theta)\sqrt{1-v^2}},$$

$$\text{where } v = (\Omega - \omega)r\sin\theta f_0^{-1}f_2^{-1}.$$



**Degrees of freedom :**

$$f_0(r, \theta), \quad f_1(r, \theta), \quad f_2(r, \theta), \quad \omega(r, \theta), \quad \rho(r, \theta) \quad \text{and} \quad P(r, \theta)$$



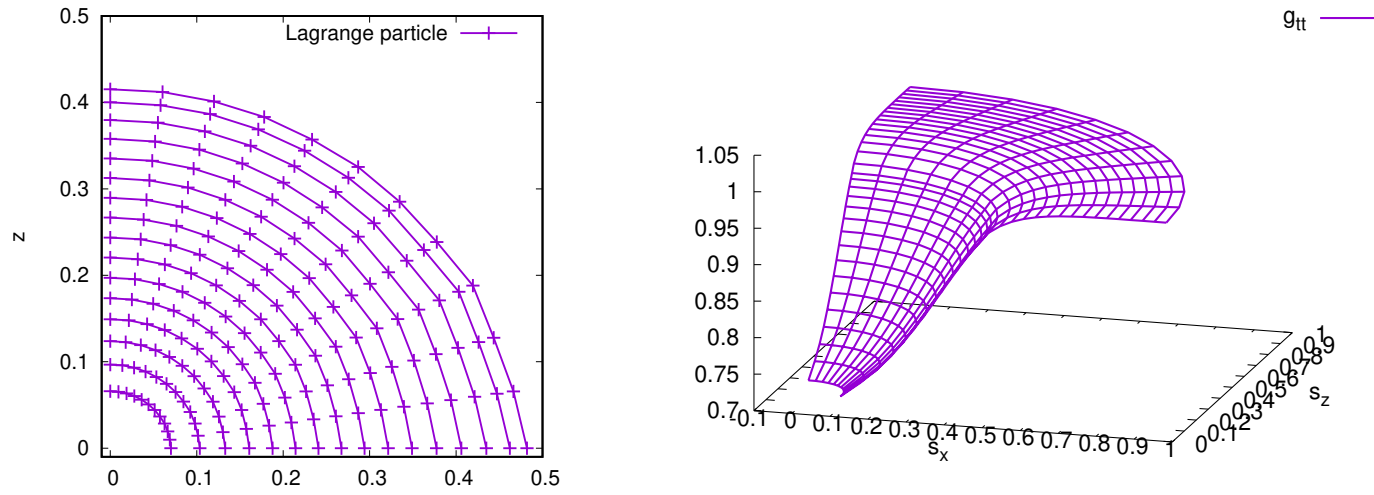
**Equations :**  $E_{\mu\nu}(\equiv G_{\mu\nu} - \kappa_G T_{\mu\nu})$  Einstein eqs. ( $E_{tt}, E_{rr}, E_{\theta\theta}, E_{t\varphi}$ ),  
Conservation of  $T_{\mu\nu}$  ( $\nabla_\mu T_r^\mu, \nabla_\mu T_\theta^\mu$ ) and EOS.

# 相對論的回転星 (Preliminary)



$$\begin{aligned}
 G_{00} = & a_1^{(00)} \frac{\partial^2 f_0}{\partial r^2} + a_2^{(00)} \frac{\partial^2 f_0}{\partial \theta^2} + a_3^{(00)} \frac{\partial^2 f_1}{\partial r^2} + a_4^{(00)} \frac{\partial^2 f_1}{\partial \theta^2} + a_5^{(00)} \frac{\partial^2 f_2}{\partial r^2} + a_6^{(00)} \frac{\partial^2 f_2}{\partial \theta^2} \\
 + & a_7^{(00)} \frac{\partial^2 \omega}{\partial r^2} + a_8^{(00)} \frac{\partial^2 \omega}{\partial \theta^2} + a_9^{(00)} \frac{\partial f_0}{\partial r} \frac{\partial \omega}{\partial r} + a_{10}^{(00)} \frac{\partial f_2}{\partial r} \frac{\partial \omega}{\partial r} + a_{11}^{(00)} \frac{\partial f_0}{\partial \theta} \frac{\partial \omega}{\partial \theta} \\
 + & a_{12}^{(00)} \frac{\partial f_2}{\partial \theta} \frac{\partial \omega}{\partial \theta} + a_{13}^{(00)} \frac{\partial f_0}{\partial r} + a_{14}^{(00)} \frac{\partial f_1}{\partial r} + a_{15}^{(00)} \frac{\partial f_2}{\partial r} + a_{16}^{(00)} \frac{\partial \omega}{\partial r} \\
 + & a_{17}^{(00)} \frac{\partial f_1}{\partial \theta} + a_{18}^{(00)} \frac{\partial f_2}{\partial \theta} + a_{19}^{(00)} \frac{\partial \omega}{\partial \theta}
 \end{aligned}$$

$$T_{00} = \frac{\rho f_0^4 f_2^4 + \rho \omega^2 r^4 \sin^4 \theta (\Omega - \omega)^2 + f_0^2 f_2^2 r^2 \sin^2 \theta (\Omega^2 P + 2\Omega \omega \rho - 2\omega^2 \rho)}{f_0^2 f_2^4 + f_2^2 r^2 \sin^2 \theta (\Omega - \omega)^2}$$



# まとめ

---

- ⌚ 宇宙現象には非線形偏微分方程式で表されるものが多くのある。
- ⌚ 定常解を用いた解析も重要であるが、数値計算的に難しい（解けない）場合が多い。
- ⌚ ニュートン・ラフソン法は初期値によって解が求まらない。  
W4 法を試す価値がある。
- ⌚ W4 法 (UL 分解) の数値計算コストは  $\mathcal{O}(N^3)$  である。
- ⌚ 問題に対する適切な分解を見つける (LH, ID)。  
並列化に適した分解を探す。
- ⌚ 物理の様々な問題に適用できる可能性は十分ある。